

# ЭЛЕКТРОДИНАМИКА, АНТЕННЫ И МИКРОВОЛНОВЫЕ УСТРОЙСТВА, РАСПРОСТРАНЕНИЕ РАДИОВОЛН

УДК 517.958:537.8

*В.А. ДОРОШЕНКО, д-р физ.-мат. наук, А.М. ТИТАРЕНКО, канд. физ.-мат. наук,  
А.А. СТРЕЛЬНИЦКИЙ*

## ПОЛУПРОЗРАЧНЫЙ КОНУС С ПРОДОЛЬНОЙ ЩЕЛЬЮ В ПОЛЕ ЭЛЕКТРИЧЕСКОГО РАДИАЛЬНОГО ДИПОЛЯ

### Введение

Интерес к изучению электродинамических свойств импедансных, в том числе и полупрозрачных, структур обусловлен их широким применением в антенной технике и технике СВЧ [1]. Построение адекватных физических и математических моделей процессов взаимодействия электромагнитных полей с такими структурами позволяет качественно и количественно проанализировать их электродинамические свойства и характеристики. В работах [2 – 5] приведены результаты теоретического исследования задач дифракции электромагнитных волн на импедансных плоских, цилиндрических, сферических экранах. Авторами работы [6] предложен подход к решению задачи дифракции волн на сплошном неограниченном импедансном конусе и получено решение в случае постоянного поверхностного импеданса. Одна из сложностей решения краевых электродинамических задач для конической структуры заключается в том, что на ее поверхности есть сингулярная точка – вершина, вблизи которой решение имеет интегрируемую особенность [7]. Наличие поверхностных неоднородностей в виде щелей на конусе с одной стороны значительно усложняют решение соответствующей краевой электродинамической задачи, а с другой существенно расширяет диапазон использования такой геометрии в практических приложениях. Из имеющихся литературных источников неизвестны решения задачи рассеяния электромагнитных волн на полупрозрачном конусе с продольной щелью. Поэтому целью данной работы является исследование задачи возбуждения электрическим радиальным диполем полубесконечного кругового полупрозрачного конуса с прорезанной вдоль образующей продольной щелью.

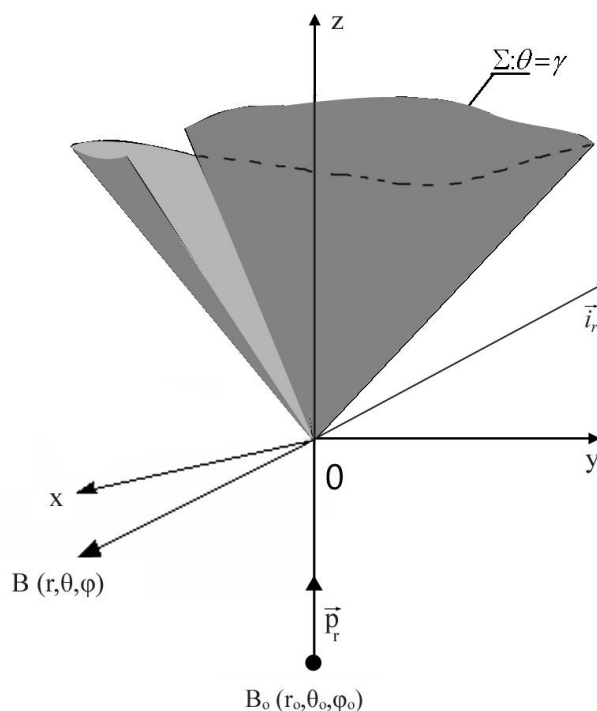
### Постановка задачи

Полубесконечный круговой полупрозрачный конус  $\Sigma$  с прорезанной от вершины вдоль образующей щелью и углом раствора  $2\gamma$  находится в электромагнитном поле электрического радиального диполя с моментом

$$\vec{P}_r(\vec{r}, t) = \vec{i}_r \delta(\vec{r} - \vec{r}_0) e^{-i\omega t},$$

где  $\vec{i}_r = \frac{\vec{r}}{|\vec{r}|}$ , расположенного вне и на оси конуса в точке  $B_0(\vec{r}_0)$  (рисунок 1). Угловая ширина щели  $d$  по величине равна величине двугранного угла, который образован плоскостями, проведенными через ось конуса и кромки щели. Во введенной сферической системе координат  $r, \theta, \varphi$  с началом в вершине конуса ( $r=0$ ) полупрозрачная коническая структура определяется уравнением  $\theta = \gamma$ . Рассматриваемая полупрозрачная коническая поверхность с параметром прозрачности  $W > 0$  обладает свойством пропускать и отражать падающее на

нее поле источника  $\vec{E}_0, \vec{H}_0$  и задача заключается в нахождении поля  $\vec{E}_1, \vec{H}_1$ , обусловленного присутствием рассеивающей поверхности  $\Sigma$ .



Полное поле

$$\vec{E} = \vec{E}_0 + \vec{E}_1, \quad \vec{H} = \vec{H}_0 + \vec{H}_1 \quad (1)$$

удовлетворяет:

- 1) уравнениям Максвелла вне полупрозрачного конуса и источника;
- 2) краевым условиям на поверхности конуса:

$$\vec{n} \times \left\{ \vec{n} \times \left[ \vec{E}^+ + \vec{E}^- \right] \right\} = 2R \vec{n} \times L^{(1)} \left[ \vec{H}^+ - \vec{H}^- \right], \quad (2)$$

$$\vec{n} \times \vec{E}^+ = \vec{n} \times \vec{E}^-, \quad (3)$$

где  $\vec{E}^\pm = \vec{E}|_{\theta=\gamma \pm 0}$ ;  $R = \frac{w}{q} W \sin \gamma$ ,  $q = -ik$ ,  $k = \omega \sqrt{\epsilon \mu}$ ,  $w = \sqrt{\mu/\epsilon}$  – волновое сопротивление среды,  $\epsilon$  и  $\mu$  – проницаемости среды, в которую помещен незамкнутый полупрозрачный конус,  $\vec{n}$  – внешняя нормаль к поверхности конуса  $\Sigma$ ,  $L^{(1)}$  – дифференциальный оператор 2-го порядка по радиальной координате;

- 3) условию на бесконечности в пространстве;
- 4) условию ограниченности энергии.

Условия (1) – (4) определяют единственность решения поставленной краевой электродинамической задачи. При решении краевых задач с конической геометрией удобно использовать потенциал Дебая  $\upsilon$  [8], вследствие чего исходная электродинамическая задача сводится к третьей краевой задаче [9] для потенциала  $\upsilon$ , который соответствует полю  $\vec{E}, \vec{H}$  и удовлетворяет уравнению Гельмгольца всюду вне незамкнутой полупрозрачной конической поверхности и источника, краевым условиям на конусе, соответствующим (2), (3):

$$\left. \nu|_{\Sigma} - rW \sin \gamma \left[ \frac{\partial}{\partial n} \nu \right] \right|_{\Sigma} = 0, \quad (4)$$

$$[\nu]_{\Sigma} = 0, \quad (5)$$

где

$$[f]_{\Sigma} = f|_{\Sigma^+} - f|_{\Sigma^-}, \quad \Sigma^{\pm} : \theta = \gamma \pm 0;$$

принципу предельного поглощения, условию ограниченности энергии.

В соответствии со структурой полного поля (1), потенциал Дебая  $\nu$  для полного поля представляется в виде

$$\nu = \nu_0 + \nu_1.$$

где  $\nu_0$  – потенциал поля источника, а  $\nu_1$  – потенциал рассеянного конусом поля.

### Метод решения

Для решения смешанной краевой задачи воспользуемся интегральными преобразованиями Конторовича – Лебедева [10] и запишем искомый потенциал  $\nu_1$  так

$$\nu_1 = \frac{\hat{p}}{2\pi^2 r_0} \int_0^{\infty} \tau \operatorname{th} \pi \tau \frac{K_{i\tau}(qr_0)}{\sqrt{r_0}} \frac{K_{i\tau}(qr)}{\sqrt{r}} P_{-1/2+i\tau}(\cos \gamma) \hat{U}_{i\tau}(\theta, \varphi) d\tau,$$

где  $K_{i\tau}(qr)$  – функция Макдональда,  $P_{-1/2+i\tau}(\cos \gamma)$  – функция Лежандра 1-го рода,

$$\hat{U}_{i\tau}(\theta, \varphi) = \sum_{n=-\infty}^{+\infty} x_n \frac{P_{-1/2+i\tau}^n(\pm \cos \theta)}{P_{-1/2+i\tau}^n(\pm \cos \gamma)} e^{in\varphi}, \quad \hat{p} = \frac{M_r}{\varepsilon}, \quad (6)$$

где  $x_n$  – неизвестные коэффициенты разложения. Знак «+» в (6), (7) соответствует области  $0 < \theta < \gamma$ , а «-» – области  $\gamma < \theta < \pi$ . Для нахождения воспользуемся краевыми условиями (4), (5), условиями непрерывности поля в щели, а также математическим аппаратом рядов Фурье, получим систему линейных алгебраических уравнений второго рода фредгольмовского типа (СЛАУ-2) относительно искомых коэффициентов:

$$x_p = \frac{1}{2W\varpi_p + B_{p,p}(\delta)} \left[ B_{0,p}(\delta) - \sum_{n \neq p}^{+\infty} B_{n,p}(\delta) x_n \right], \quad p = 0, \pm 1, \pm 2 \dots \quad (7)$$

$$\varpi_p = |n|(1 - \varepsilon_p) = \frac{(-1)^p \operatorname{ch} \pi \tau}{\pi} \frac{\Gamma(1/2 + i\tau + p)}{\Gamma(1/2 + i\tau - p)} \frac{1}{P_{-1/2+i\tau}^p(-\cos \gamma) P_{-1/2+i\tau}^p(\cos \gamma)},$$

$$B_{n,p}(\delta) = \begin{cases} -\frac{1}{\pi} \frac{\sin(n-p)\delta}{n-p}, & n \neq p, \\ \frac{1}{\pi}(\pi - \delta), & n = p; \end{cases} \quad \delta = d/2, \quad 0 \leq \delta < \pi,$$

где  $\Gamma(z)$  – гамма-функция. В предельном случае исчезновения щели ( $d = 0$ ) из (7) следует с точностью до  $O(W^{-2})$ , что

$$x_0 = \frac{1}{2W\varpi_0 + 1}, \quad x_p = 0 \quad \text{для } p \neq 0 \quad (8)$$

Коэффициенты Фурье (8) соответствуют коэффициентам при возбуждении сплошного полупрозрачного конуса [10].

## Аналитическое решение для незамкнутого полупрозрачного конуса с большим уровнем поверхностной прозрачности

В силу свойства СЛАНУ-2 (7) ее оператор является сжимающим в случае большого параметра прозрачности ( $W \gg 1$ ), что позволяет использовать для решения (7) метод последовательных приближений и найти аналитическое решение задачи. Ограничиваясь первым приближением, получаем такое представление для потенциала  $v_1$  вдали от щели:

$$v_1 = -\frac{2}{\pi^2} \frac{\beta^*}{2W} \int_0^{+\infty} \frac{\tau \operatorname{sh} \pi \tau c_{0\tau}}{1/D_{i\tau}^{(0)} + \beta^*/2W} \frac{K_{i\tau}(qr)}{\sqrt{r}} \frac{P_{-1/2+i\tau}(\pm \cos \theta)}{P_{-1/2+i\tau}(\pm \cos \gamma)} d\tau + \quad (9)$$

$$+ \frac{2}{\pi^3} \frac{\beta^*}{W} \sum_{n=1}^{+\infty} \cos n\varphi \int_0^{+\infty} \frac{\tau \operatorname{sh} \pi \tau c_{0\tau}}{1/D_{i\tau}^{(-pN)} + \beta^*/2W} \frac{\sin n\delta}{n} \frac{K_{i\tau}(qr)}{\sqrt{r}} \frac{P_{-1/2+i\tau}^{-n}(\pm \cos \theta)}{P_{-1/2+i\tau}^{-n}(\pm \cos \gamma)} d\tau + O(W^{-2}),$$

$$c_{0\tau} = -\frac{\hat{p}}{4 \operatorname{ch} \pi \tau} \frac{K_{i\tau}(qr_0)}{\sqrt{r_0}} P_{-1/2+i\tau}(\cos \gamma), \quad D_{i\tau}^{(M)} = 1/\varpi_M, \quad \beta^* = 1 - \frac{\delta}{\pi}, \quad 0 < \beta^* \leq 1.$$

Верхние знаки у функции Лежандра в подынтегральных выражениях (9) соответствуют области  $0 < \theta < \gamma$ , а нижние знаки – области  $\gamma < \theta < \pi$ . Осуществляя в (9) формальный переход к пределу  $W \rightarrow +\infty$  или  $\beta^* \rightarrow 0$ , что соответствует исчезновению полупрозрачной конической поверхности, получаем предельное нулевое значение для потенциала Дебая  $v_1^{(1)}$  для рассеянного поля. Преобразовав интегралы в (9) и замкнув контур интегрирования, а также используя теорему Коши о вычетах, можно получить представление для  $v_1$  в виде ряда по полюсам подынтегральной функции, которая является мероморфной. Множество полюсов подынтегральных функций в (9) образуют спектр рассматриваемой краевой задачи. Используя выражения составляющих электромагнитного поля через потенциалы Дебая, можно записать представление составляющих в виде ряда, члены которого являются модами соответствующих полей. Такое представление удобно при определении поведения поля вблизи вершины конуса и в случае близкого расположения источника к вершине.

В соответствии с (9) спектр краевой задачи для незамкнутого полупрозрачного конуса с большим параметром прозрачности ( $W \gg 1$ ) определяется корнями таких уравнений

$$\frac{\cos \pi \zeta}{\pi} \frac{1}{P_{-1/2+\zeta}(\cos \gamma) P_{-1/2+\zeta}(-\cos \gamma)} + (1 - \delta/\pi)/2W = 0, \quad (10)$$

и

$$(-1)^p \frac{\cos \pi \zeta}{\pi} \frac{\Gamma(1/2 + \zeta - p)}{\Gamma(1/2 + \zeta + p)} \frac{1}{P_{-1/2+\zeta}^{-p}(\cos \gamma) P_{-1/2+\zeta}^{-p}(-\cos \gamma)} + (1 - \delta/\pi)/2W = 0, \quad p = 1, 2, \dots \quad (11)$$

При  $W \gg 1$  корни уравнения (10) находятся вблизи нулей функции  $\cos \pi \zeta$ :

$$\tilde{\zeta}_s^{(1)*} = \frac{1}{2} + s + \frac{1 - \delta/\pi}{2W} [P_s(\cos \gamma)]^2 + O(W^{-2}), \quad s = 0, 1, 2, \dots, \quad (12)$$

а уравнения (11) – вблизи нулей функции  $\Gamma(1/2 + \zeta - p) \cos \pi \zeta$ .

Наименьшее из собственных значений рассматриваемой краевой задачи при  $W \gg 1$  совпадает с наименьшим значением (12)

$$\tilde{\zeta}_0^{(1)*} = \frac{1}{2} + \frac{1 - \delta/\pi}{2W} + O(W^{-2}), \quad (13)$$

которое и определяет поведение поля у вершины незамкнутого полупрозрачного конуса. Собственные значения (12) для полупрозрачного конуса ( $W \gg 1$ ) с продольной щелью представляют собой собственные значения, возмущенные фактом наличия щели,

$$\zeta_s = \frac{1}{2} + s + \frac{1}{2W} [P_s(\cos \gamma)]^2 + O(W^{-2})$$

для сплошного полупрозрачного конуса при таком же способе возбуждения:

$$\tilde{\zeta}_s^{(1)*} \approx \zeta_s - \frac{\delta/\pi}{2W} [P_s(\cos \gamma)]^2,$$

а собственное значение (13) можно записать так:

$$\tilde{\zeta}_0^{(1)*} \approx \zeta_0 - \frac{\delta/\pi}{2W},$$

причем  $\tilde{\zeta}_s^{(1)*} \leq \zeta_s$ ,  $s = 0, 1, 2, \dots$ . Электромагнитное поле вблизи вершины ( $qr \ll 1$ ) полупрозрачного конуса ( $W \gg 1$ ) с продольной щелью ведет себя как

$$|\vec{E}| \sim |qr|^{-1+1/2W-\delta/2\pi W}, \quad |\vec{H}| \sim |qr|^{1/2W-\delta/2\pi W}. \quad (14)$$

Из (14) следует, что наличие продольной щели на поверхности конуса усиливает особенность электрического поля у вершины, а магнитное убывает по мере приближения к вершине не так быстро, как у сплошного полупрозрачного конуса. Такой же вывод был сделан и для случая возбуждения идеально проводящего конуса с продольной щелью электрическим радиальным диполем [10].

### Заключение

Впервые проведено теоретическое исследование в строгой постановке краевой задачи рассеяния электромагнитных волн на полубесконечном круговом полупрозрачном конусе с продольной щелью. Метод ее решения основан на применении потенциалов Дебая, интегральных преобразований Конторовича – Лебедва и аппарата рядов Фурье, вследствие чего исходная задача сведена к решению системы линейных алгебраических уравнений второго рода фредгольмовского типа. В частном случае незамкнутой конической поверхности с высокой степенью прозрачности найдено аналитическое решение, что позволило качественно изучить структуру рассеянного конусом поля и его поведение вблизи вершины конуса. Полученные результаты могут быть, в частности, использованы на стадии проектирования широкополосных и сверхширокополосных щелевых антенн с прозрачными стенками.

**Список литературы:** 1. *Кравченко В. Ф.* Электродинамика сверхпроводящих структур. Теория, алгоритмы и методы вычислений. – М.: Физматлит, 2006. – 280с. 2. *Бравер И.М., Гарб Х.Л., Фридберг П.Ш. и др.* Явление аномально слабого затухания мощности в волноводе с полубесконечной резистивной пленкой // Радиотехника и электроника. – 1987. – Т.32, №2. – С.264-269. 3. *Lindel I.V., Shihvola A.H.* Electromagnetic boundary conditions defined in terms of normal field components // IEEE Trans. on Antennas & Propagat. Mag. – 2010. – V.58, № 4. – P. 1128-1135. 4. *Звездина М.Ю.* Рассеяние электромагнитного поля импедансной цилиндрической поверхностью произвольного сечения // Физика волновых процессов и радиотехнические системы. – 2003. – Т.6, №4. – С.38-40. 5. *Ерофеенко В.Т., Кравченко В.Ф.* Об импедансных граничных условиях, учитывающих кривизну поверхности // ДАН РАН. – 2000. – Т.45. №11. – С.1-7. 6. *Bernard J.M.L., Lyalinov M.A.* Electromagnetic scattering by a smooth convex impedance cone // J. of Appl. Math. – 2004. – V.69. – P.285-333. 7. *Фелсен Л., Маркувиц Н.* Излучение и рассеяние волн: пер. с англ.; под ред. М.Л. Левина. – М.: Мир, 1978. – Т.1,2; Т1. – 552с., Т2. – 558с. 8. *Ильинский А.С., Кравцов В.В., Свешников А.Г.* Математические модели электродинамики. – М.: Высш. шк., 1991. – 224с. 9. *Ладыженская О.А.* Краевые задачи математической физики. – М.: Наука, 1973. – 470с. 10. *Дорошенко В.А., Кравченко В.Ф.* Дифракция электромагнитных волн на незамкнутых конических структурах. – М.: Физматлит, 2009. – 272с.

Харьковский национальный  
университет радиоэлектроники

Поступила в редколлегию 11.05.2013